

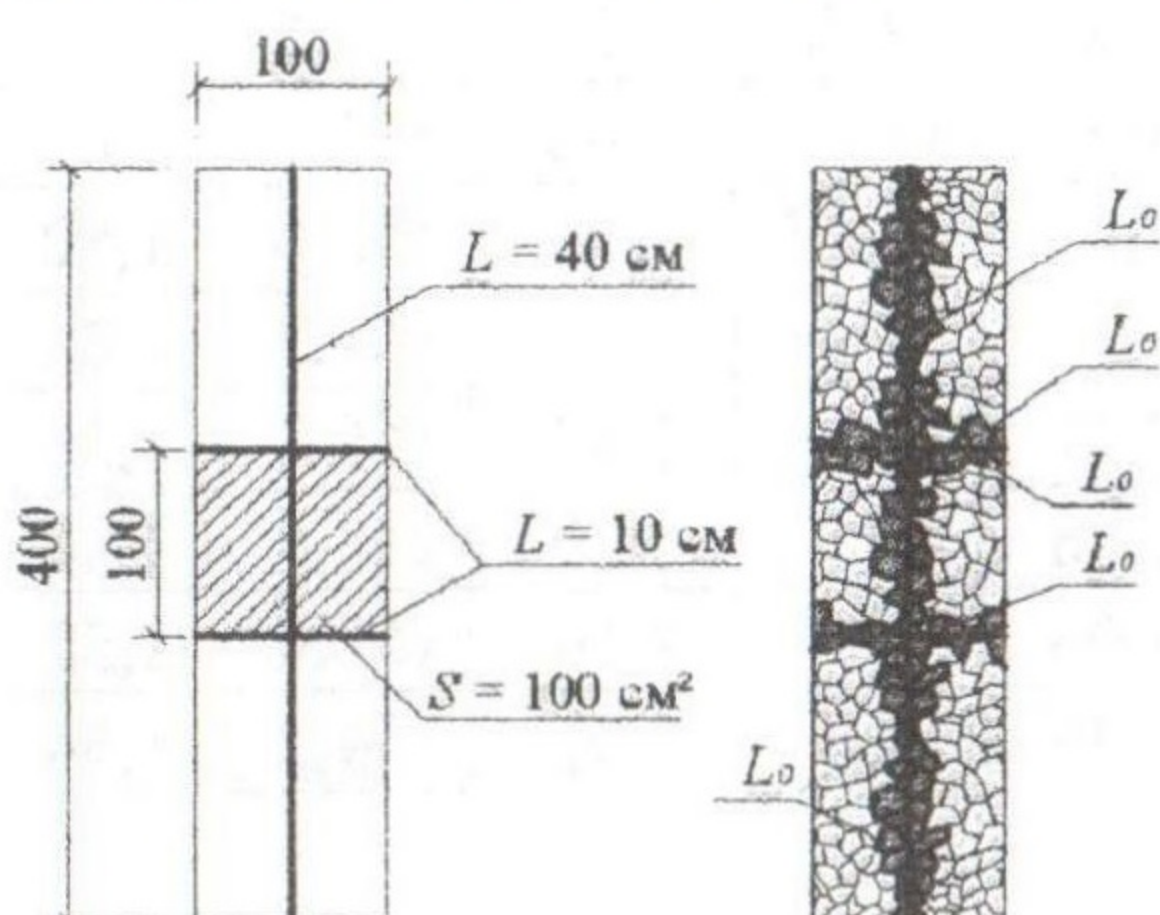
**РЕЗУЛЬТАТЫ ЭКСПЕРИМЕНТАЛЬНЫХ ИССЛЕДОВАНИЙ  
НАЧАЛЬНОЙ ТЕХНОЛОГИЧЕСКОЙ ПОВРЕЖДЕННОСТИ  
БЕТОНА ПРИЗМ ПРИ ОПРЕДЕЛЕНИИ НЕСУЩЕЙ  
СПОСОБНОСТИ ЖЕЛЕЗОБЕТОННЫХ БАЛОК ПО  
НАКЛОННЫМ СЕЧЕНИЯМ С УЧЕТОМ СИЛ ЗАЦЕПЛЕНИЯ**

Шеховцов И.В., Бондаренко А.В., Безушко Д.И. (*Одесская государственная академия строительства и архитектуры, г. Одесса*)

**В статье приведены результаты экспериментальных исследований начальной (технологической) поврежденности бетона призм при определении несущей способности железобетонных балок по наклонным сечениям с учетом сил зацепления.**

Для определения коэффициентов технологической поврежденности использовались образцы призмы и балки.

На призмах база измерения составляла:  $L = 10, 40 \text{ см}$  – соответственно поперек и вдоль каждой из сторон призмы;  $S = 100 \text{ см}^2$  (см. Рис. 1). Измерения проводились по двум сторонам призм. В результате измерений для каждой призмы получались 4 измерения по базе  $L = 40 \text{ см}$ , 8 измерений по базе  $L = 10 \text{ см}$  и 2 измерения по базе  $S = 100 \text{ см}^2$ .



Средние значения длин трещин и коэффициентов поврежденности для призм приведены в таблице 1

Рис 1. Опытный образец призмы с нанесенными базовыми прямыми и площадью а) и призма с прорисованными технологическими трещинами по всей площади боковой поверхности б)

**Анализ результатов экспериментальных исследований при определении технологической поврежденности призм**

Необходимость данного анализа вызвана достаточно большим разбросом полученных экспериментальных данных при определении технологической поврежденности.

Для статистической оценки погрешности полученной при измерении трещин, используются следующие характеристики случайных величин:

- математическое ожидание случайной величины - теоретический средний уровень, вокруг которого располагаются все возможные значения случайной величины:

$$M(x) \approx X = \frac{\sum_{i=1}^n x_i}{n}; \quad (1)$$

Таблица 1

Средние значения длин технологических трещин и коэффициентов поврежденности для призм.

Точка плана	X1	X2	Продольная линия, L = 40 см		Поперечная линия, L = 10 см		Площадь, S=100 см <sup>2</sup>	
			L <sub>0</sub>	K <sub>nL</sub>	L <sub>0</sub>	K <sub>nL</sub>	L <sub>0</sub>	K <sub>ns</sub>
1	2	3	4	5	6	7	8	9
1	+1(15)	+1(400)	70	1,75	17,97	1,79	131,2	1,31
2	0(10)	+1(400)	74,8	1,87	22,02	2,20	144,5	1,44
3	-1(5)	+1(400)	61,2	1,53	16,62	1,66	106,8	1,06
4	+1(15)	-1(250)	82	2,05	19,57	1,95	152,6	1,52
5	0(10)	-1(250)	91,6	2,29	23,43	2,34	164,3	1,64
6	-1(5)	-1(250)	86,8	2,17	18,31	1,83	156,2	1,56
7	+1(15)	0(325)	75,2	1,88	17,9	1,79	148,5	1,48
8	0(10)	0(325)	78,4	1,96	21,65	2,16	152,6	1,52
9	-1(5)	0(325)	70	1,75	20,1	2,01	154,2	1,54

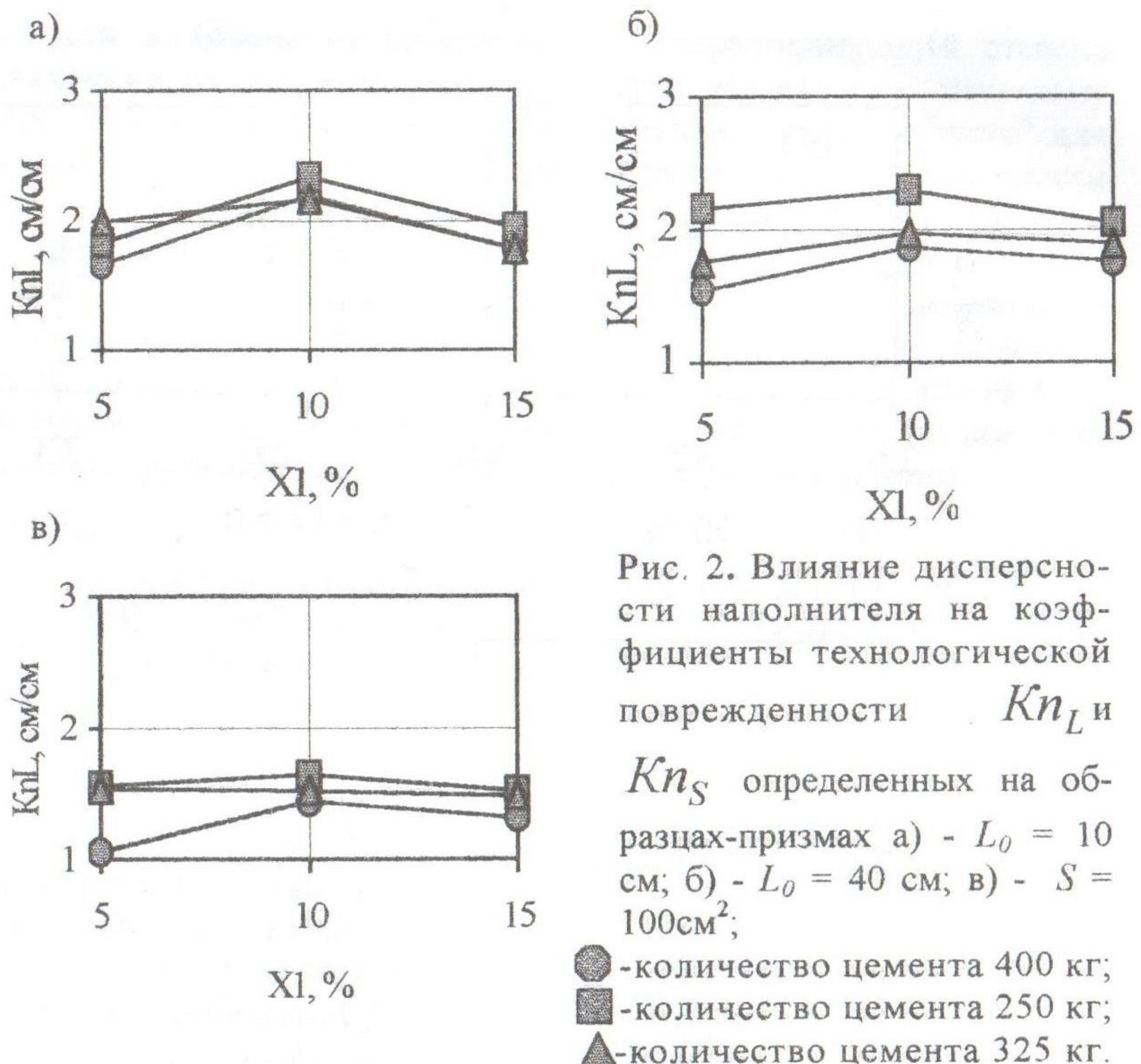


Рис. 2. Влияние дисперсности наполнителя на коэффициенты технологической поврежденности  $Kn_L$  и  $Kn_S$  определенных на образцах-призмах а) -  $L_0 = 10$  см; б) -  $L_0 = 40$  см; в) -  $S = 100\text{cm}^2$ ;

- количество цемента 400 кг;  
- количество цемента 250 кг;  
- количество цемента 325 кг.

- дисперсия – величина разброса совокупности результатов вокруг математического ожидания:

$$D(x) = \frac{\sum_{i=1}^n (x_i - \bar{x})^2}{n-1}; \quad (2)$$

- среднеквадратическое отклонение (стандарт):

$$\sigma(x) = \sqrt{D(x)}; \quad (3)$$

- коэффициент вариации:

$$\varepsilon = \frac{\sigma(x)}{\bar{x}}, \quad (4)$$

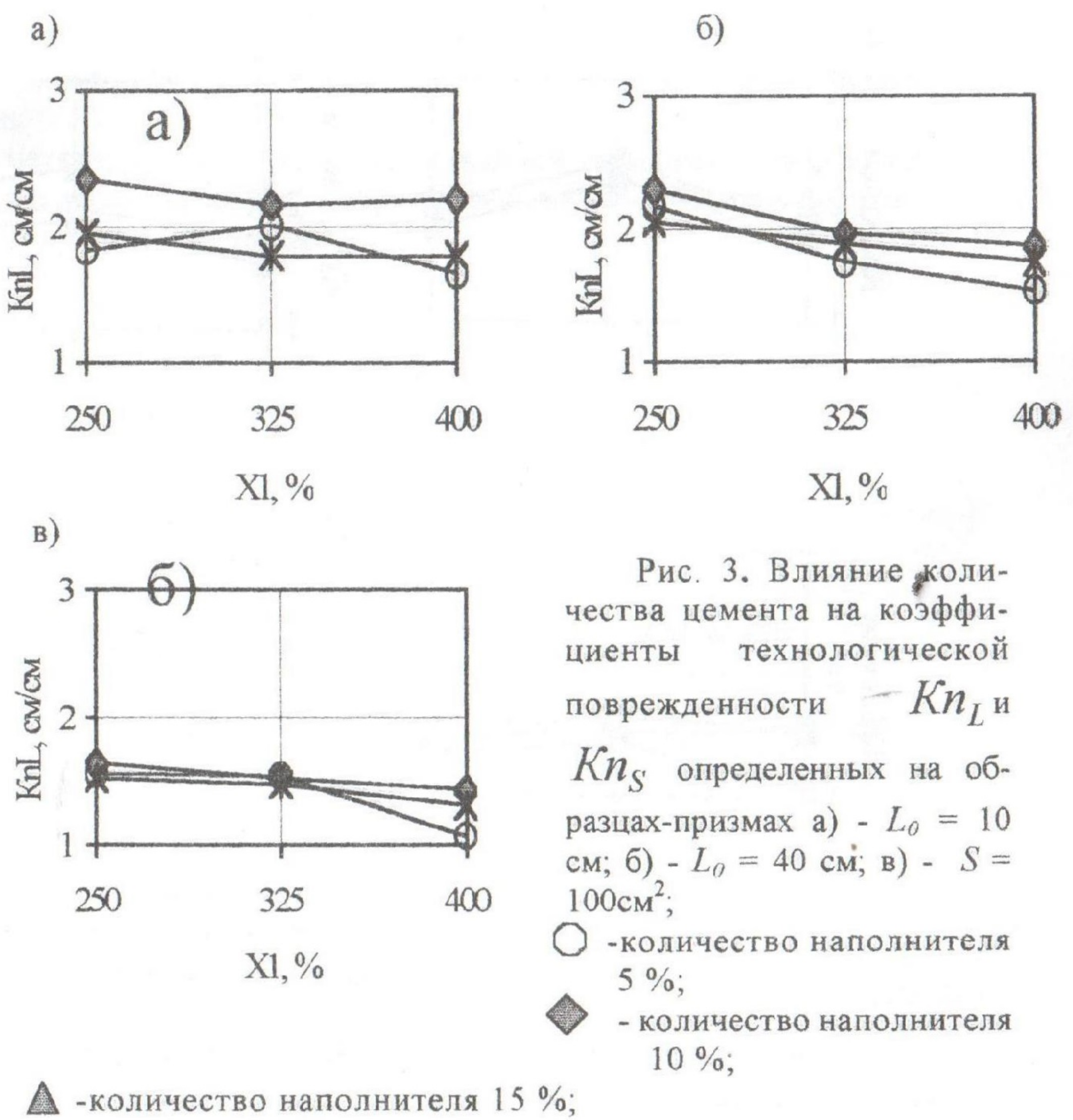


Рис. 3. Влияние количества цемента на коэффициенты технологической поврежденности  $Kn_L$  и  $Kn_S$  определенных на образцах-призмах а) -  $L_0 = 10 \text{ см}$ ; б) -  $L_0 = 40 \text{ см}$ ; в) -  $S = 100 \text{ см}^2$ ;

○ - количество наполнителя 5 %;  
◆ - количество наполнителя 10 %;

▲ - количество наполнителя 15 %;

Расчеты выполнены по каждой серии образцов, по каждой базе измерения. Средние значения длин поверхностных трещин по сериям и соответствующие коэффициенты вариации представлены в таблице 2.

Таблица 2

Значения коэффициента вариации  $\mathcal{E}$  при определении длин технологических трещин на образцах – призмах

Точка плана	X1	X2	Продольная линия, L = 40 см		Поперечная линия, L = 10 см		Площадь, S=100 см <sup>2</sup>	
			L <sub>0</sub>	ε	L <sub>0</sub>	ε	L <sub>0</sub>	ε
1	2	3	4	5	6	7	8	9
1	+1(15)	+1(400)	70,25	0,024	17,97	0,086	131,2	0,035
2	0(10)	+1(400)	82,41	0,029	22,02	0,087	144,5	0,044
3	-1(5)	+1(400)	61,41	0,037	16,62	0,065	106,8	0,027
4	+1(15)	-1(250)	78,75	0,0362	19,57	0,0806	152,6	0,0244
5	0(10)	-1(250)	91,96	0,0291	23,43	0,0733	164,3	0,0398
6	-1(5)	-1(250)	86,84	0,0301	18,31	0,084	156,2	0,0253
7	+1(15)	0(325)	75,48	0,0273	17,9	0,0657	148,5	0,0251
8	0(10)	0(325)	78,69	0,0213	21,65	0,0841	152,6	0,0341
9	-1(5)	0(325)	67,52	0,0402	20,1	0,0919	154,2	0,0136

Подобный расчет был выполнен и для образцов балок.

Так, рассматривая поврежденность призм, на базе  $L_0 = 10$  см длина трещин меняется в интервале от 16,62 до 23,43 см. При этом коэффициент вариации меняется от 0,065 до 0,0919. На базе измерения  $L_0 = 40$  см длина трещин меняется в интервале от 61,41 до 91,96 см. При этом коэффициент вариации меняется от 0,0213 до 0,0402. При рассмотрении базы измерения  $S = 100\text{см}^2$  длина трещин меняется в пределах от 106,8 до 164,3 см при этом коэффициент вариации меняется в пределах от 0,0136 до 0,044 см.

Рассматривая поврежденность балок на базе  $L_0 = 15$  см длина трещин меняется в интервале от 24,66 до 39,25 см. При этом коэффициент вариации меняется от 0,059 до 0,083. На базе измерения  $L_0 = 31$  см длина трещин меняется в интервале от 47,69 до 68,45 см. При этом коэффициент вариации меняется от 0,032 до 0,047. При рассмотрении базы измерения  $S = 225 \text{ см}^2$  длина трещин меняется в пределах от 247,96 до 360,86 см при этом коэффициент вариации меняется в пределах от 0,011 до 0,03 см.

На рис.4. представлен график зависимости между базой измерения и коэффициентом вариации длины поверхностных трещин. Анализируя график, учитывая при этом что доверительная вероятность

$\gamma = 0,95$  ( $\varepsilon = 0,05$ ) можно заметить, что база измерений должна составлять не менее  $L = 28\text{см}$ .

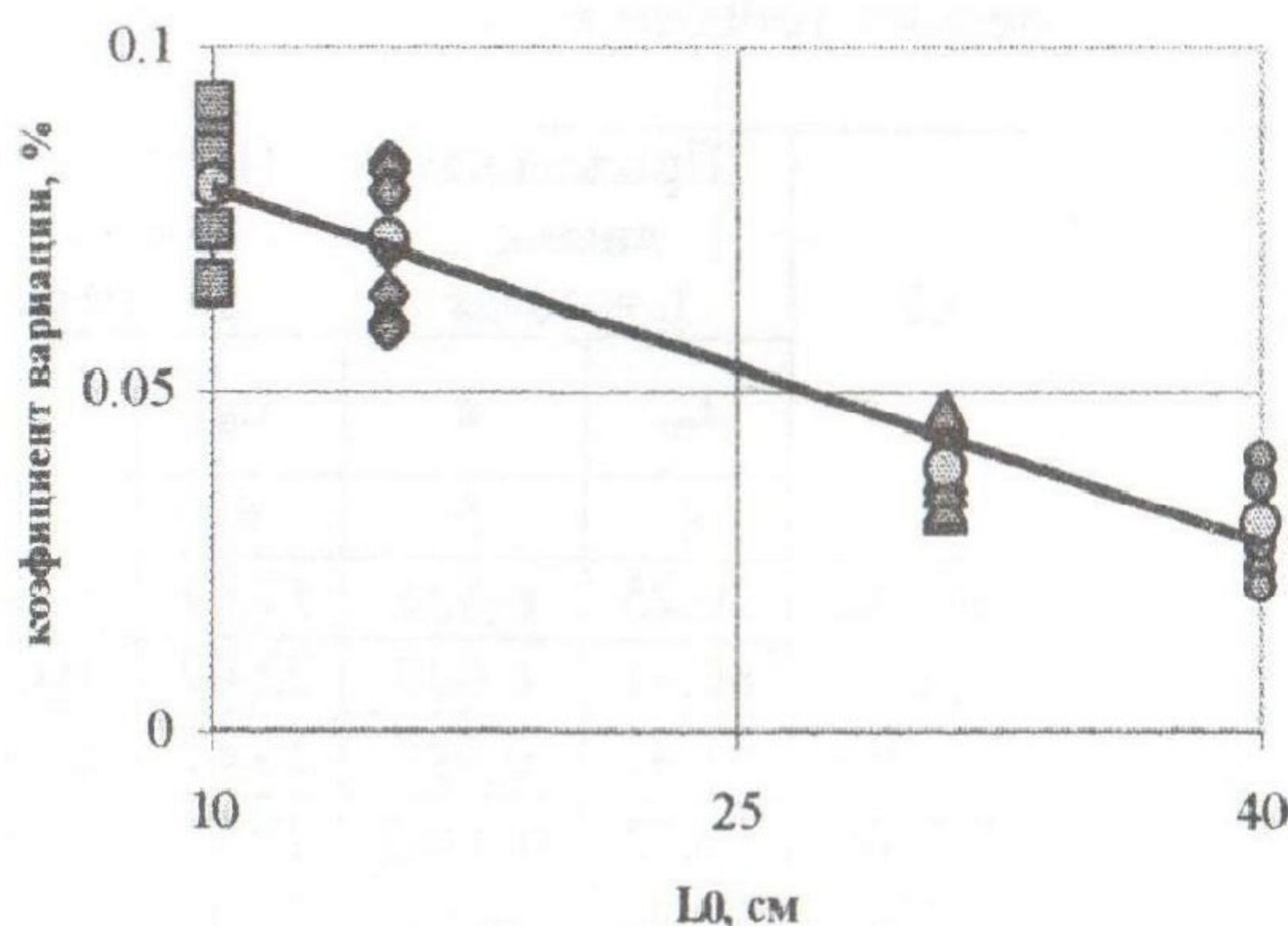


Рис 4. Зависимость между базой измерения и коэффициентом вариации длины поверхностных трещин

Таким образом при дальнейшем рассмотрении технологической поврежденности данные полученные при измерении длин трещин на базе измерения меньше  $L = 28\text{см}$  из дальнейшего анализа исключены.

В работах В.Н. Вырового и В.С. Дорофеева был сделан вывод что, для одного и того же состава бетона, при одинаковых режимах формования и твердения коэффициент поврежденности остается постоянным. Очевидно, что между коэффициентами поврежденности по длине и по площади существует определенная закономерность. На Рис. 5 и 6 показаны графики зависимости между коэффициентами  $Kn_L$  и  $Kn_S$  определенные на образцах призмах и балках.

Используя метод наименьших квадратов для графика изображенного на Рис. 5, получена зависимость  $y = 0,393 + 0,5517x$ .

Зависимость между коэффициентами  $Kn_L$  определенными на образцах призмах ( $L = 40$  см) и балках ( $L = 31$ ) представлена на Рис 6.

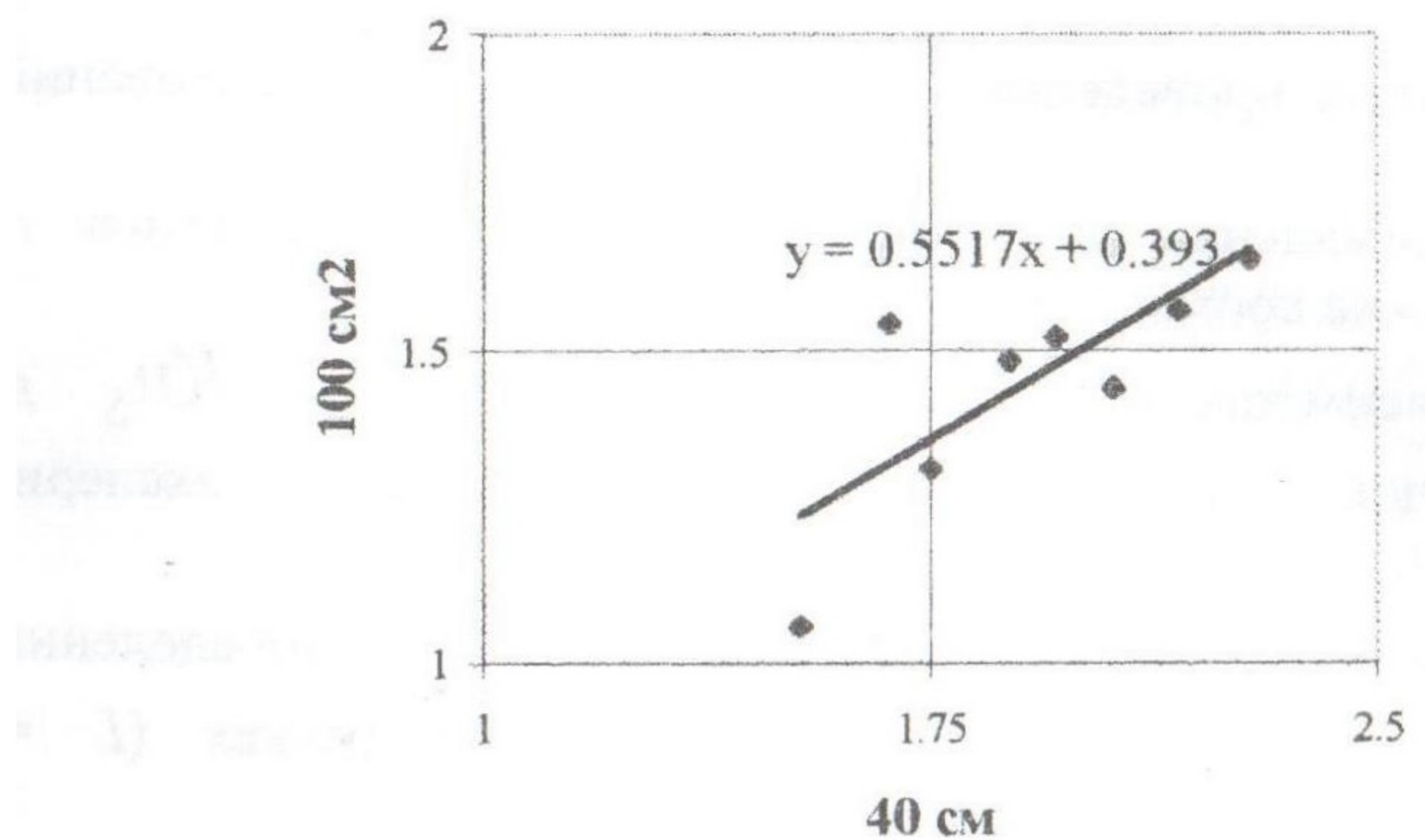


Рис 5. Зависимость между коэффициентами  $Kn_L$  и  $Kn_S$  для образцов призм

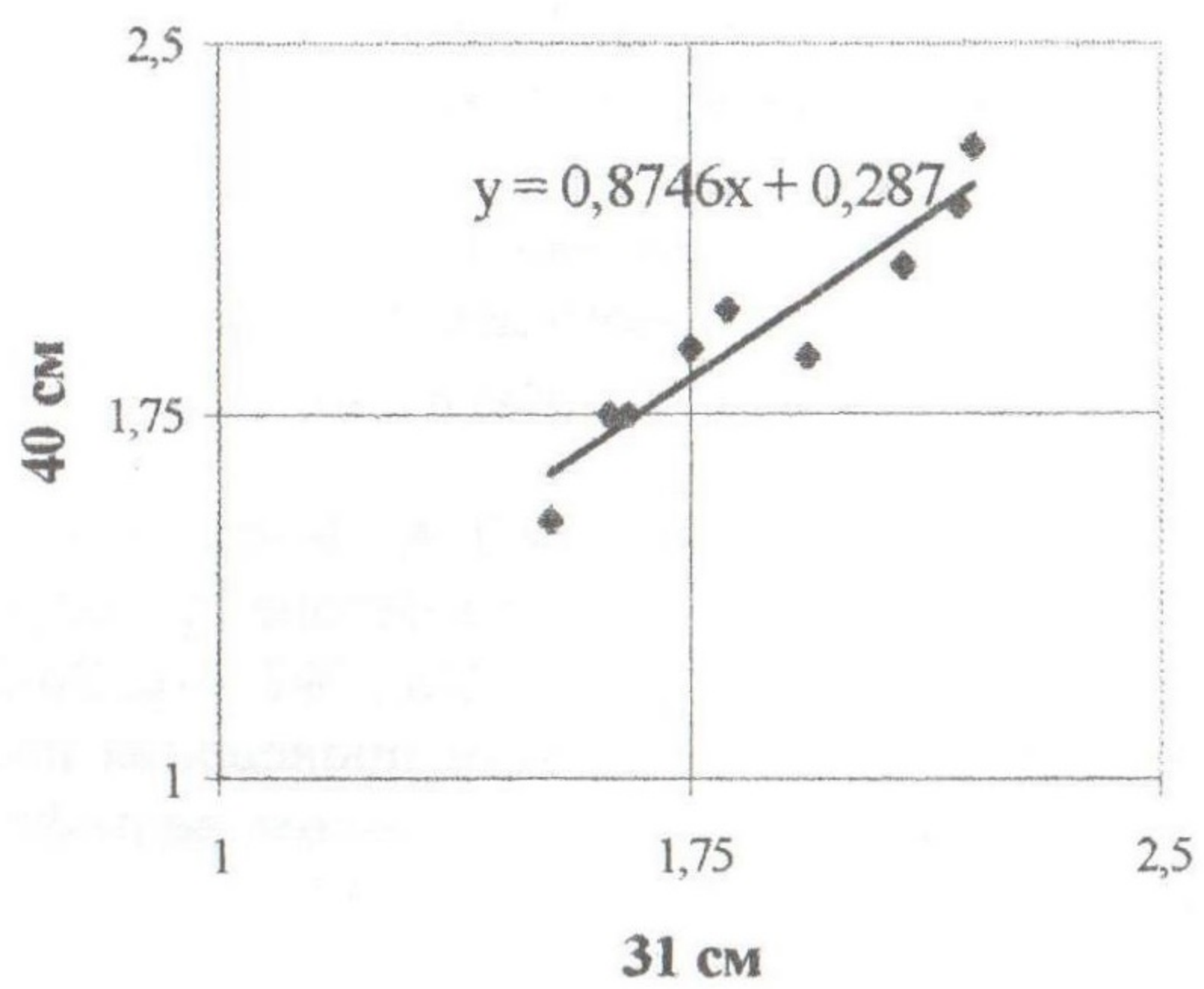


Рис 6. Зависимость между коэффициентами  $Kn_L$ , определенными на образцах призмах ( $L = 40 \text{ см}$ ) и балках ( $L = 31$ ).

### *Выходы:*

В результате проведенных экспериментальных исследований установлено:

- минимальная длина базы измерения поверхностных трещин должна составлять не менее 28 см;
- зависимость между коэффициентами  $Kn_L$  и  $Kn_S$  для образцов призм (в рамках данного эксперимента)  
 $y = 0,393 + 0,5517x$ ;
- зависимость между коэффициентами  $Kn_L$  определенными на образцах призмах ( $L = 40$  см) и балках ( $L = 31$ );  
 $y = 0,287 + 0,08746x$ ;

### *Литература*

1. Дорофеев В.С., Выровой В.Н. Технологическая поврежденность строительных материалов и конструкций.- Одесса: ИМК Город мастеров, 1998.- 168 с.
2. Шеховцов И.В., Сузанская Т.А., Бондаренко А.В. Влияние начальной технологической поврежденности на длину трещины при определении сил зацепления. – Одесса., Вісник ОДАБА 2000, №1, стр. 65-69 стр.
3. Шеховцов И.В., Сузанская Т.А., Бондаренко А.В. Моделирование рельефа поверхности трещины в бетоне при определении сил зацепления. – Одесса., Вісник ОДАБА 2000, №2, стр. 20-24.
4. Бондаренко А.В. К методике проведения исследований по определению сил зацепления при различном рельефе поверхности трещины. - Одесса., Вісник ОДАБА 2000, №5.